

秋田大学大学院	学生員	○ 佐藤 光弘
秋田大学		柴田 直己
極東工業(株)	正会員	山根 隆志

### 1. はじめに

鋼・コンクリートからなる合成桁は、使用する材料の特性を有効に組み合わせて用いることにより、高い経済性と優れた構造特性が期待できる。しかし、材齢の変化にともないコンクリートにはクリープおよび乾燥収縮が生じる。また、多径間の構造になると分割施工が行われることが多く、各施工段階において構造が変化するため、コンクリートに生じる応力は逐次変化する。この時間依存性の応力の変化と変形を的確に検討した上で、施工手順を考えることが重要である。本研究では、コンクリート床版の施工手順の異なる三径間連続の鋼・コンクリート合成桁のクリープおよび乾燥収縮による時間依存性応力の解析をし、比較・検討を行ったものである。

### 2. 構造および解析モデル

#### 2.1 構造

本研究において解析する構造物は鋼およびコンクリートからなる合成断面を有する三径間連続合成桁橋とし、その構造図を図-1に示す。コンクリート床版(床版部)は、設計基準強度  $40 \text{ N/mm}^2$ 、弾性係数  $31 \text{ kN/mm}^2$  であり、鋼材(主桁部)は SM570 を使用し、弾性係数  $200 \text{ kN/mm}^2$  である。

#### 2.2 解析モデル

図-2に解析を行ったコンクリート床版の施工手順を示す。case-1 は全橋長にわたり、床版を一括施工する。case-2 は2段階で施工し、はじめに各径間の床版を打込んだ後、中間支点部の床版を打込んでいく。case-3 は端支点部から中間支点部をオーバーハングして片側から順に3段階にかけて床版を打込んでいく。ただし、case-2 および 3 における段階施工の施工期間は 20 日とし、コンクリート打込み直後の断面は合成断面にはならず、打込んだコンクリートの自重はすべて鋼桁で受けるものとし、鋼桁の自重による影響は考えないものとする。また、コンクリートの自重を等分布荷重  $q$  とし、 $q = 102.88 \text{ kN/m}$ 、材齢係数  $\chi = 0.8$ 、クリープ係数および乾燥収縮ひずみについて表-1に示す値を用いた。

### 3. 解析結果

case-1 ~ 3 の曲げモーメント図およびたわみ図を図-3に示す。図-3は各材齢における弾性解析とクリープおよび乾燥収縮の影響を考慮した時間依存性解析の結果

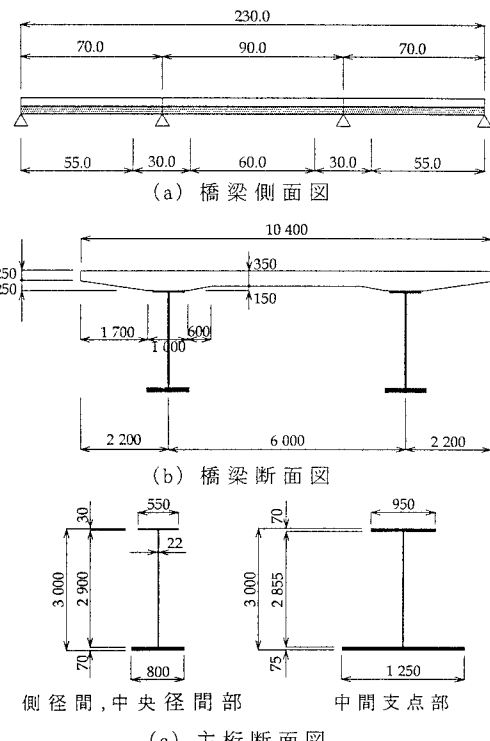


図-1 橋梁構造図

表-1 クリープ係数および乾燥収縮ひずみ

材齢(日)	クリープ係数	乾燥収縮ひずみ $\epsilon_{cs}(t, t_0) \times 10^{-6}$	
$t$	$t_0$	$\phi(t, t_0)$	
20	0	0.575	17.5
40	20	0.203	10
$\infty$	0	2.6	195
$\infty$	20	2.025	177.5
$\infty$	40	1.822	167.5

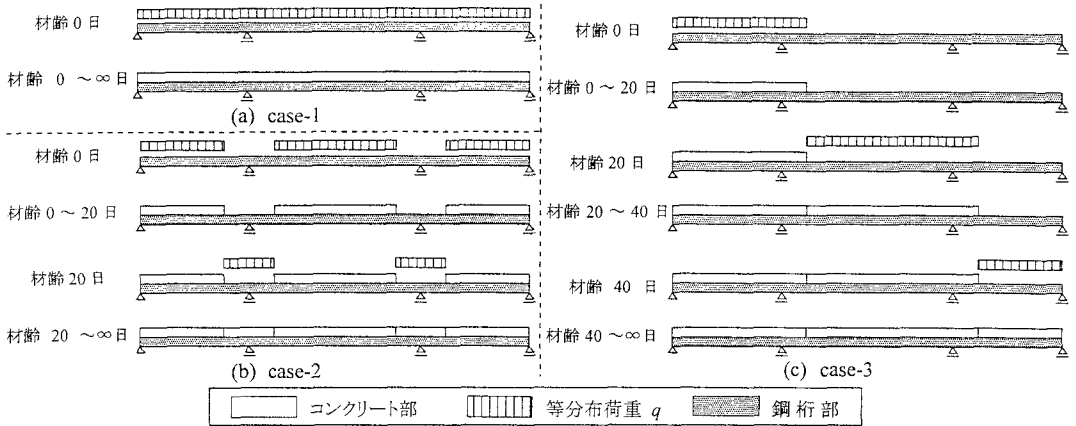


図-2 床版施工手順

を重ね合わせたものである、図-3の曲げモーメント図から材齢 $\infty$ において負の曲げモーメントが最大になる中間支点上に着目し、コンクリート打込み時における瞬間の応力、クリープおよび乾燥収縮により生じる時間依存性の応力変化、これらを合計した材齢 $\infty$ における応力を図-4に示す。ただし、時間依存性の応力変化は拘束応力、鋼材により生じる内部拘束による応力、不静定力の変化による応力を合計して表している。

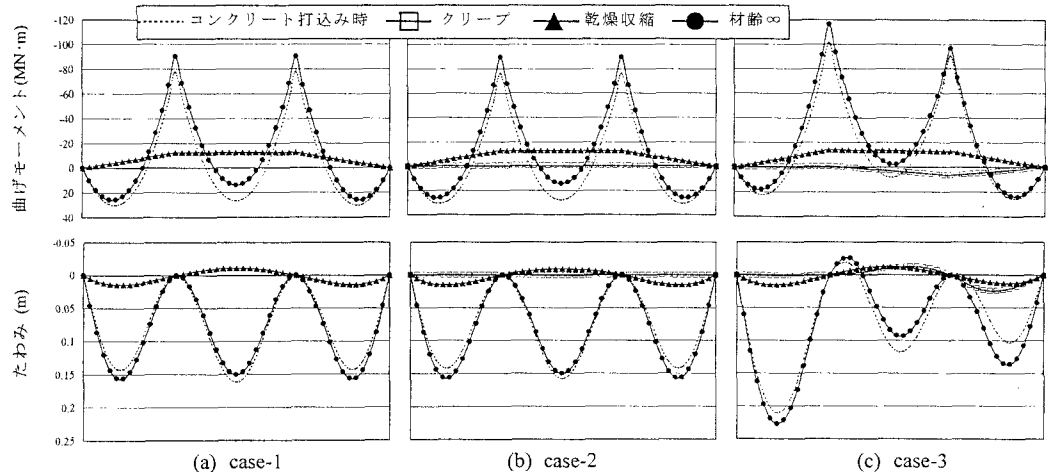


図-3 曲げモーメント図およびたわみ図

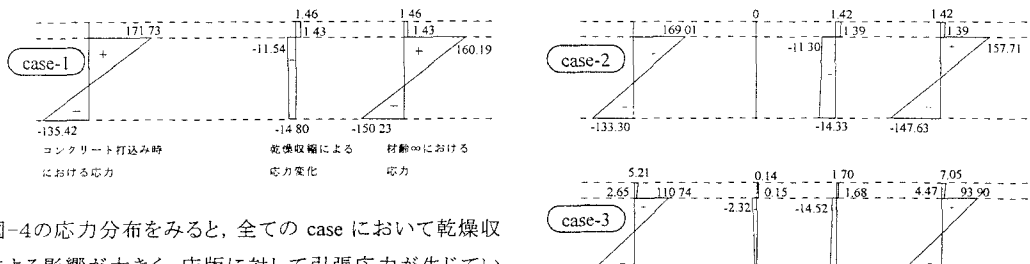


図-4の応力分布をみると、全ての case において乾燥収縮による影響が大きく、床版に対して引張応力が生じていることがわかる。また、case-1 および 2 は case-3 に比べ、床版に生じる引張応力が 1/5 程度と小さく、許容応力度の範囲内である。

図-4 中間支点部における応力分布 ( $N/mm^2$ )